

Элементарно, Хиггс!

Дмитрий Казаков

Лаборатория теоретической физики
Объединённый институт ядерных исследований (Дубна)

Московский физико-технический институт



Программа курса лекций

- Лекция I Физика элементарных частиц в предверии смены парадигм
- Лекция II Симметрии в физике элементарных частиц
- Лекция III Стандартная модель: сильные взаимодействия
- Лекция IV Стандартная модель: электрослабые взаимодействия
- Лекция V Физика за пределами Стандартной модели

Лекция III

Стандартная модель: сильные взаимодействия

- Квантовая хромодинамика
- Цветная симметрия сильных взаимодействий
- Глюоны как переносчики сильных взаимодействий
- Адроны построенные из夸рков
- Гипотеза невылетания夸рков
- Партонная модель
- Процессы рождения адронов на коллайдерах

Хромодинамика как калибровочная теория сильных взаимодействий

Лагранжиан

Группа инвариантности $SU(3)$

$$\mathcal{L}_{QCD} = -\frac{1}{4}F_{\mu\nu}^a F_{\mu\nu}^a + \bar{\psi}_i \gamma^\mu (\partial_\mu - m - g T_{ij}^a A_\mu^a) \psi_j$$

$$F_{\mu\nu}^a = \partial_\mu A_\nu^a - \partial_\nu A_\mu^a + g f^{abc} A_\mu^b A_\nu^c$$

Хромодинамика как калибровочная теория сильных взаимодействий

Лагранжиан

Группа инвариантности $SU(3)$

$$\mathcal{L}_{QCD} = -\frac{1}{4}F_{\mu\nu}^a F_{\mu\nu}^a + \bar{\psi}_i \gamma^\mu (\partial_\mu - m - g T_{ij}^a A_\mu^a) \psi_j$$

$$F_{\mu\nu}^a = \partial_\mu A_\nu^a - \partial_\nu A_\mu^a + g f^{abc} A_\mu^b A_\nu^c$$

$$\mathcal{L}_{QED} = -\frac{1}{4}F_{\mu\nu} F_{\mu\nu} + \bar{\psi} \gamma^\mu (\partial_\mu - m - e A_\mu) \psi$$

$$F_{\mu\nu} = \partial_\mu A_\nu - \partial_\nu A_\mu$$

Хромодинамика как калибровочная теория сильных взаимодействий

Лагранжиан

Группа инвариантности $SU(3)$

$$\mathcal{L}_{QCD} = -\frac{1}{4}F_{\mu\nu}^a F_{\mu\nu}^a + \bar{\psi}_i \gamma^\mu (\partial_\mu - m - g T_{ij}^a A_\mu^a) \psi_j$$

$$F_{\mu\nu}^a = \partial_\mu A_\nu^a - \partial_\nu A_\mu^a + g f^{abc} A_\mu^b A_\nu^c$$

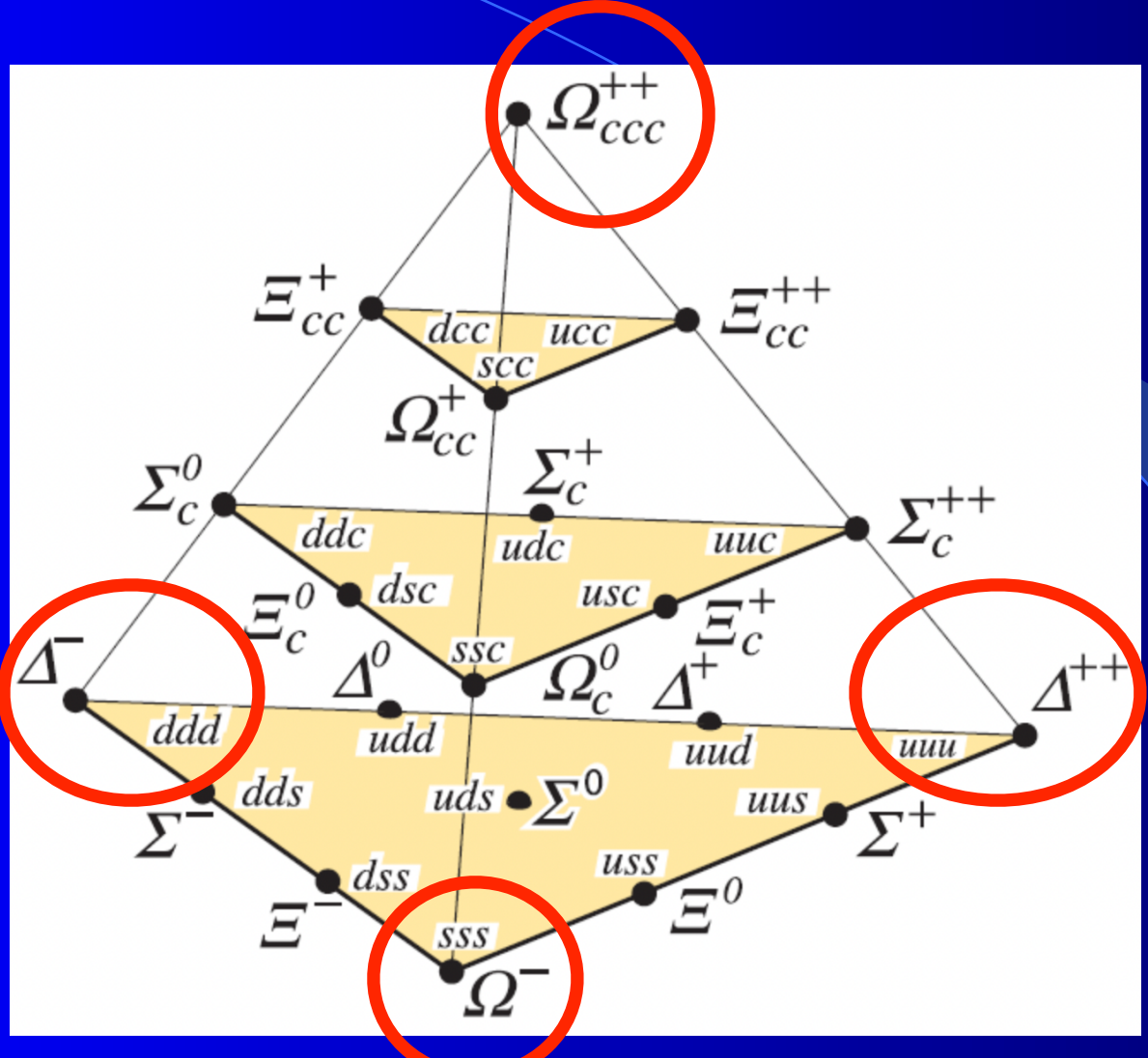
$$\mathcal{L}_{QED} = -\frac{1}{4}F_{\mu\nu} F_{\mu\nu} + \bar{\psi} \gamma^\mu (\partial_\mu - m - e A_\mu) \psi$$

$$F_{\mu\nu} = \partial_\mu A_\nu - \partial_\nu A_\mu$$

- Сильное вз. осуществляются путём обмена квантом глюонного (цветного) поля -глюоном
- Глюонное поле описывается уравнением Янга-Миллса (обобщение уравнений Максвелла)
- Главное отличие от электродинамики в том, что глюоны тоже несут цветной заряд и взаимодействуют друг с другом

Цвет кварков

Адроны сделаны из кварков



$$\Delta^-(d \uparrow d \uparrow d \uparrow)$$

$$\Omega^-(s \uparrow s \uparrow s \uparrow)$$

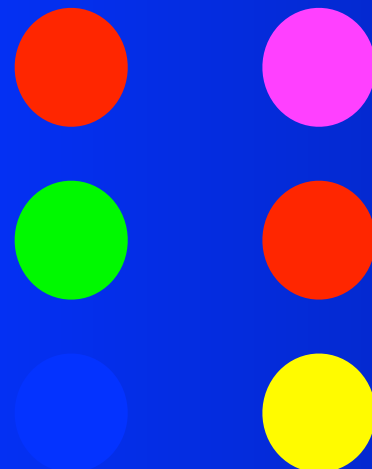
$$\Delta^{++}(u \uparrow u \uparrow u \uparrow)$$

Чтобы преодолеть принцип запрета Паули нужно антисимметризовать волновую функцию, введя новое квантовое число - «цвет»

$$\Delta^- = \epsilon^{ijk} (d_i \uparrow d_j \uparrow d_k \uparrow)$$

Цветные кварки и глюоны

q \bar{q}



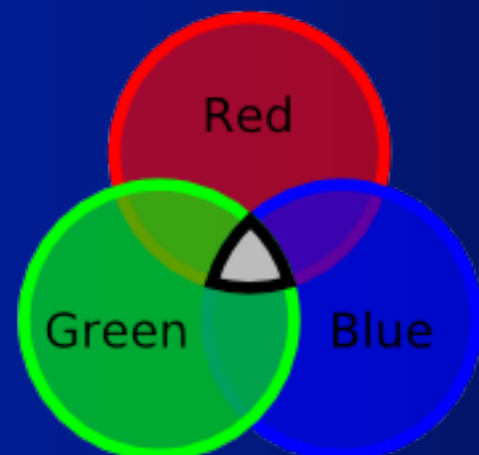
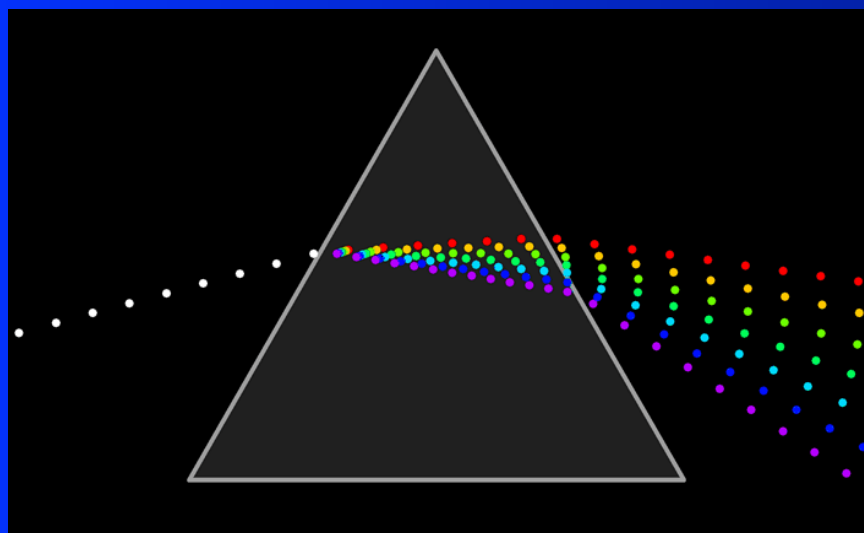
Каждый аромат (тип) кварков может иметь три цветных заряда **красный**, **зеленый**, **синий**

Антикварки имеют антицвета: анти**красный** - **фиолетовый**, анти**зелёный** - **красный**, анти**синий** - **жёлтый**

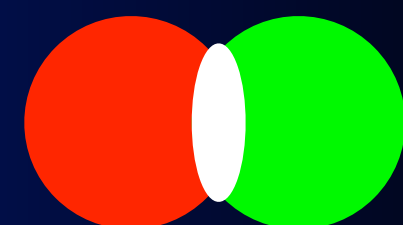
Глюоны имеют восемь цветов:
красный-анти**синий**, **зелёный**-анти**красный**, ...



Все связанные состояния кварков, барионы и мезоны - бесцветны !



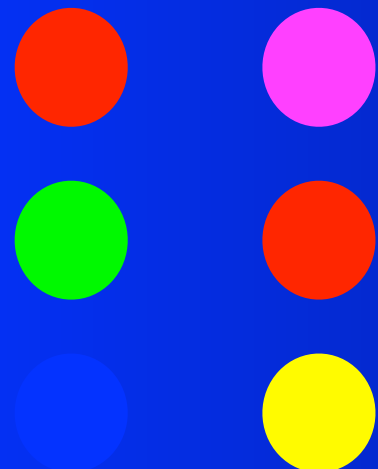
барион



мезон

Цветные кварки и глюоны

q \bar{q}

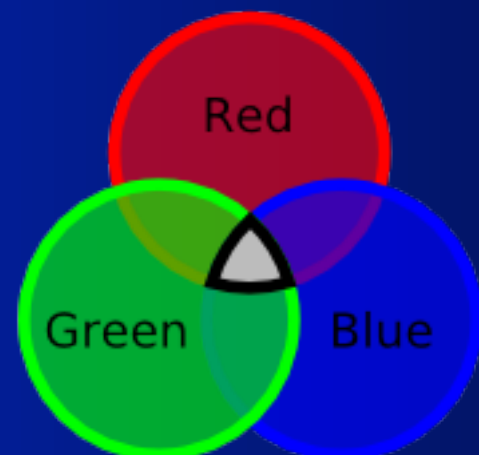
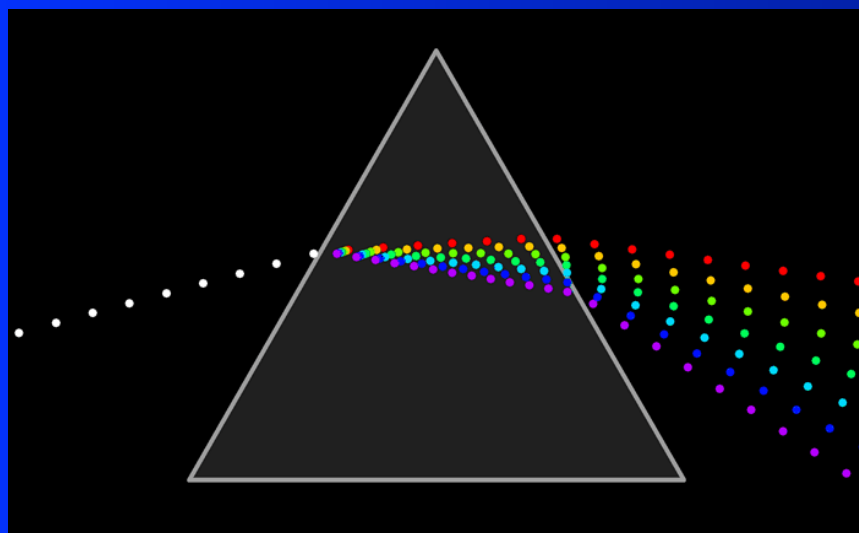


Каждый аромат (тип) кварков может иметь три цветных заряда **красный, зеленый, синий**

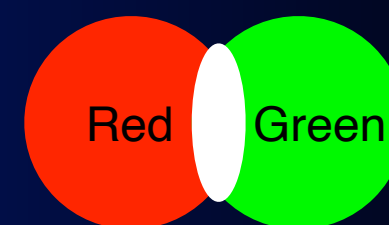
Антикварки имеют антицвета: анти**красный** - **фиолетовый**, анти**зелёный** - **красный**, анти**синий** - **жёлтый**

Глюоны имеют восемь цветов:
красный-антисиний, зелёный-антикрасный, ...

Все связанные состояния кварков, барионы и мезоны - бесцветны !



барион

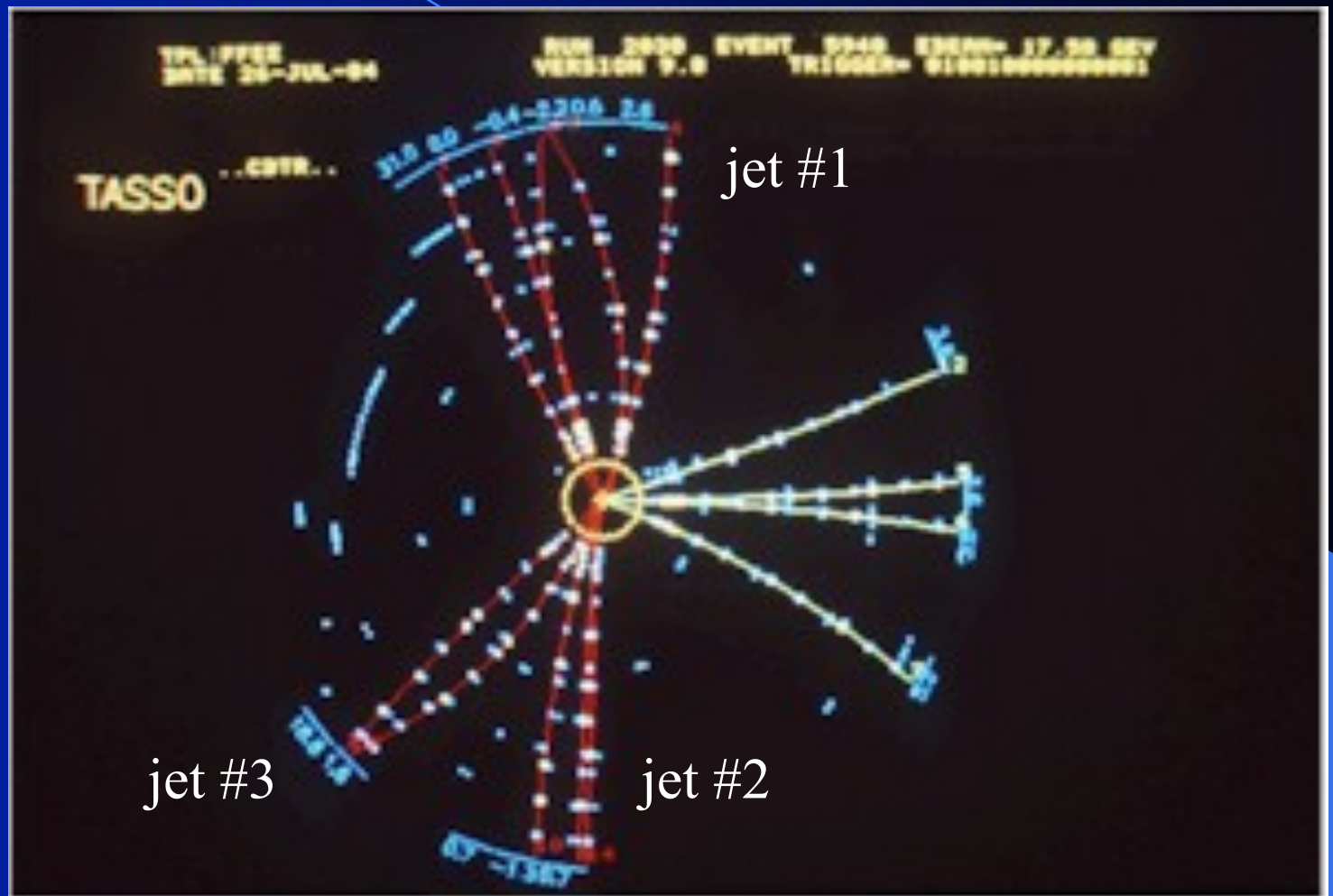


мезон



Открытие глюона

- Глюон – переносчик сильных взаимодействий был открыт в 1979 году на ускорителе PETRA (DESY)
- Свидетельством открытия глюона явились наличие трёх-струйного события в рассеянии адронов



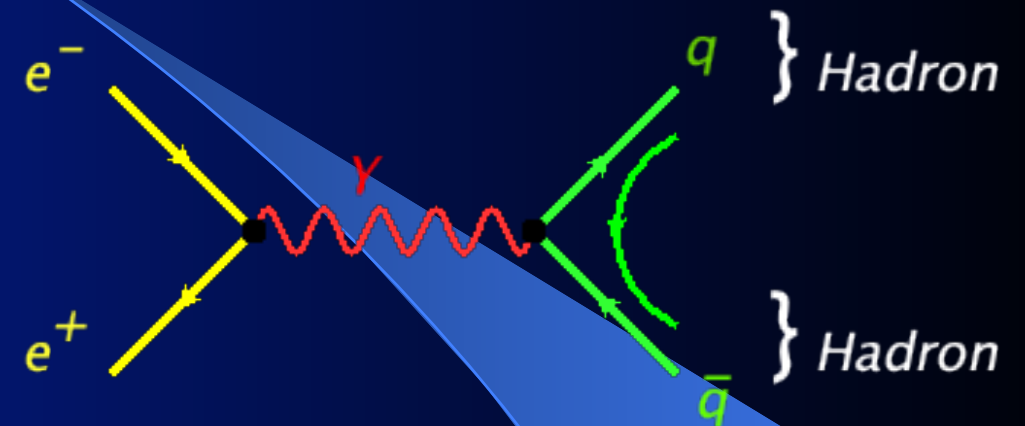
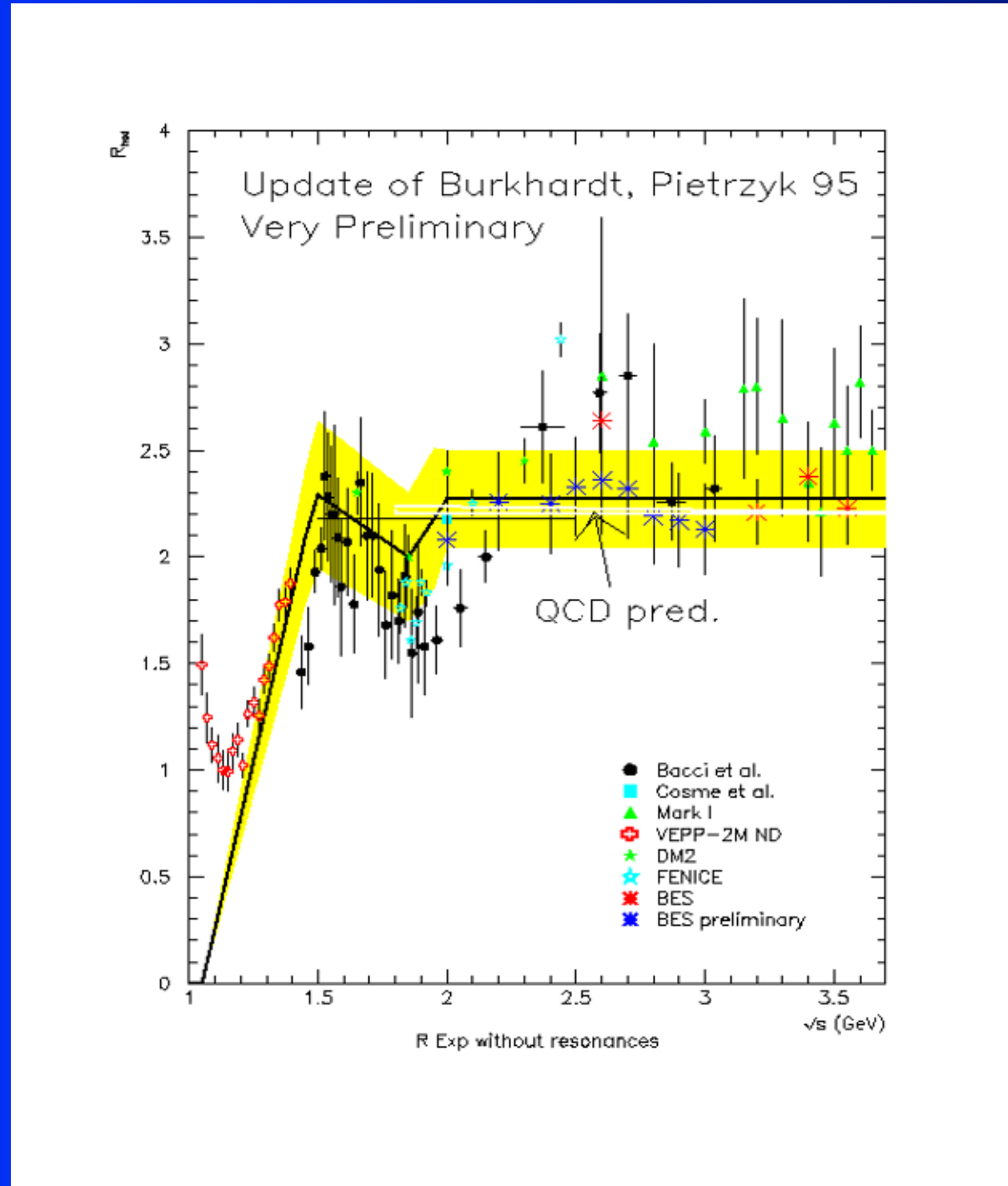
$$g_{ij}^a$$

$$a = 1, \dots, 8$$

$i, j = 1, 2, 3$ ← «цвет»

Color	Quarks
Red	Green
Anti-Color	Anti-Quarks
Blue	Anti-Blue

Число цветов квarks



Сечение электрон-позитронной аннигиляции в адроны пропорционально числу цветов квarks. Сравнение с экспериментальными данными с разных коллайдеров при разных энергиях даёт

$$N_c = 3.06 \pm 0.10$$

SU(3)

Стандартная Модель

SU(2)

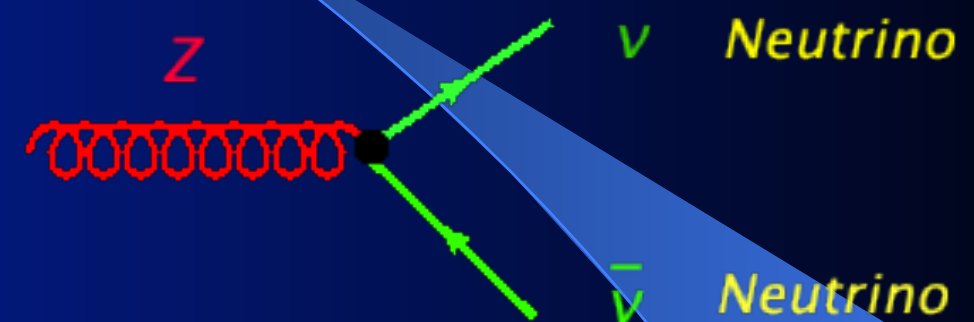
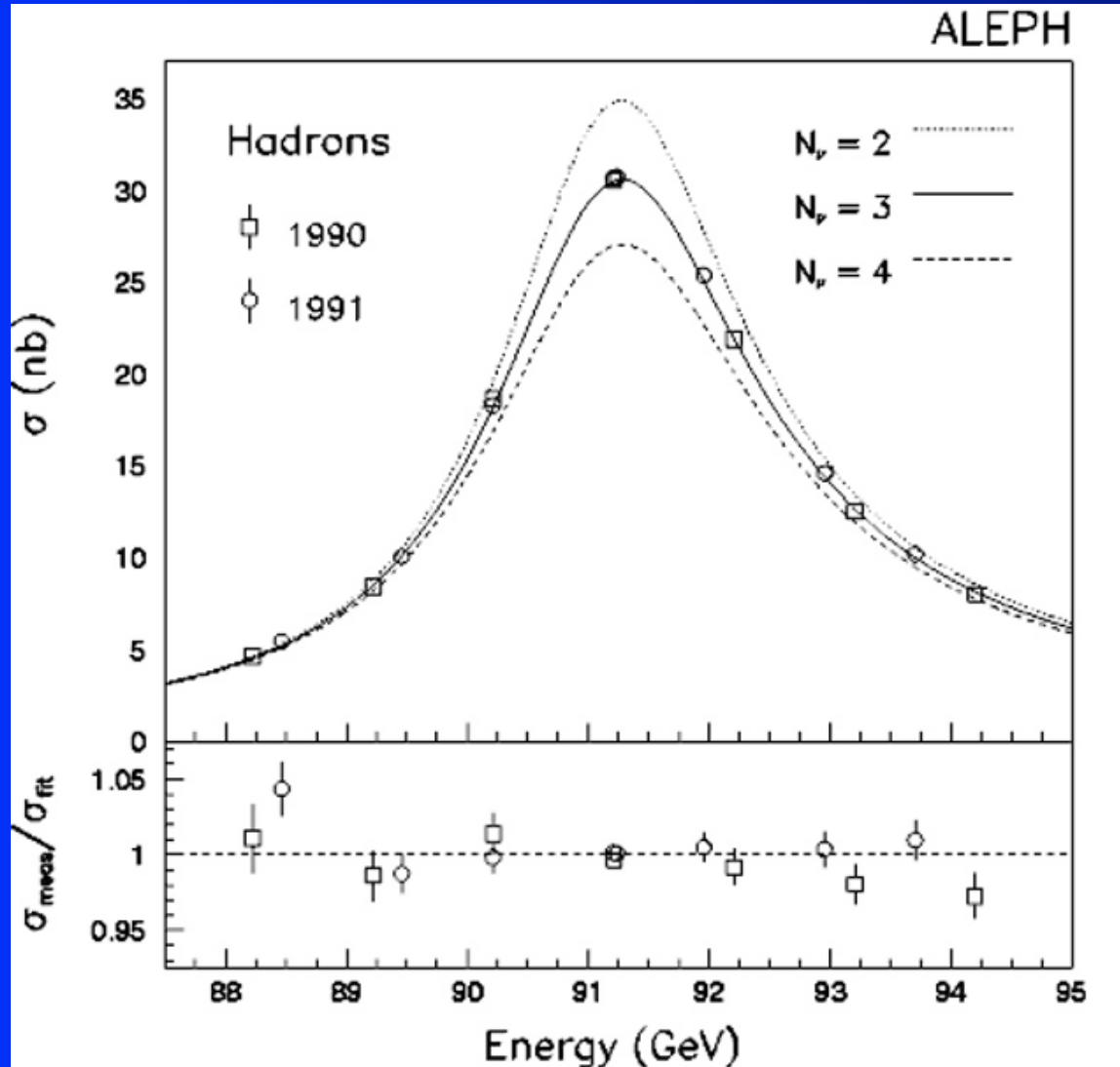
U(1)

Частицы

Three Generations of Matter (Fermions)				
	I	II	III	Bosons (Forces)
mass→	3 MeV	1.24 GeV	172.5 GeV	0
charge→	$\frac{2}{3}$	$\frac{2}{3}$	$\frac{2}{3}$	125.7 GeV
spin→	$\frac{1}{2}$	$\frac{1}{2}$	$\frac{1}{2}$	0
name→	u up	c charm	t top	1 Higgs
Quarks	d down	s strange	b bottom	0 g gluon
Leptons	<2 eV 0 $\frac{1}{2}$ electron neutrino	<0.19 MeV 0 $\frac{1}{2}$ muon neutrino	<18.2 MeV 0 $\frac{1}{2}$ tau neutrino	90.2 GeV 0 1 Z^0 weak force
	0.511 MeV -1 $\frac{1}{2}$ electron	106 MeV -1 $\frac{1}{2}$ muon	1.78 GeV -1 $\frac{1}{2}$ tau	± 1 1 W^+ weak force

Силы
 Электромагнитные
 Сильные
 Слабые
 Юкавские
 Гравитация

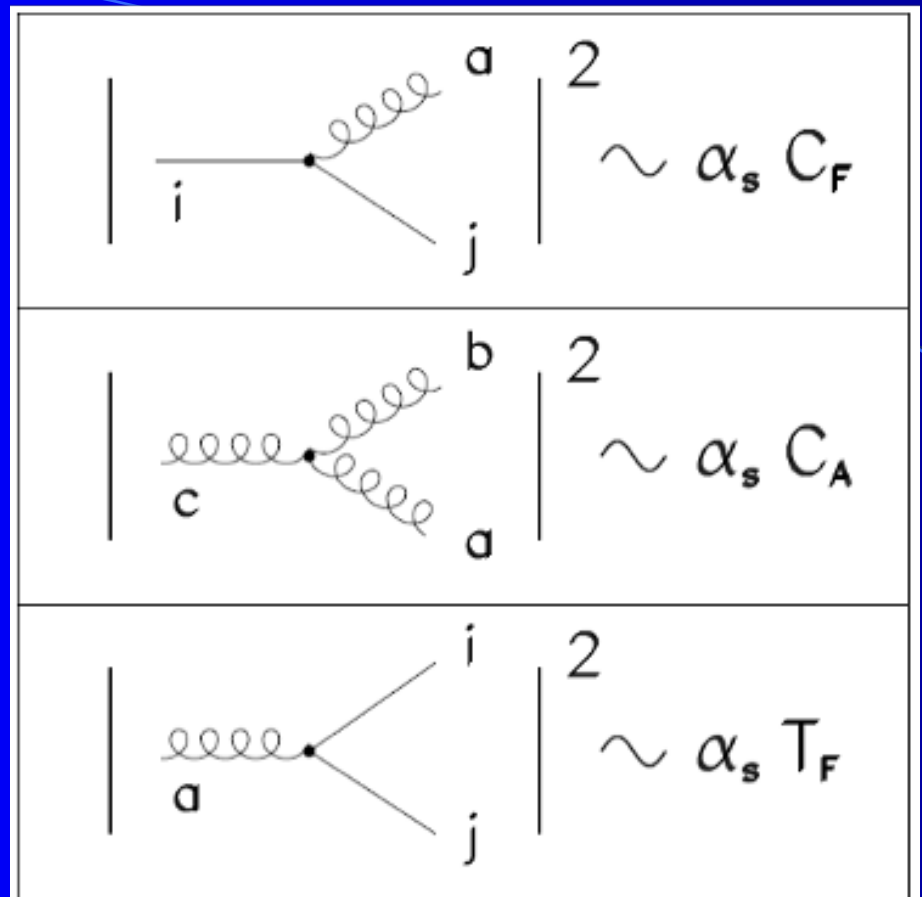
Число поколений частиц материи



Форма и ширина линии Z -бозона полученные на электрон-позитронном коллайдере ЛЭП зависят от числа поколений и даёт для числа сортов лёгких нейтрино (числа поколений)

$$N_g = 2.982 \pm 0.013$$

Группа симметрии сильных взаимодействий

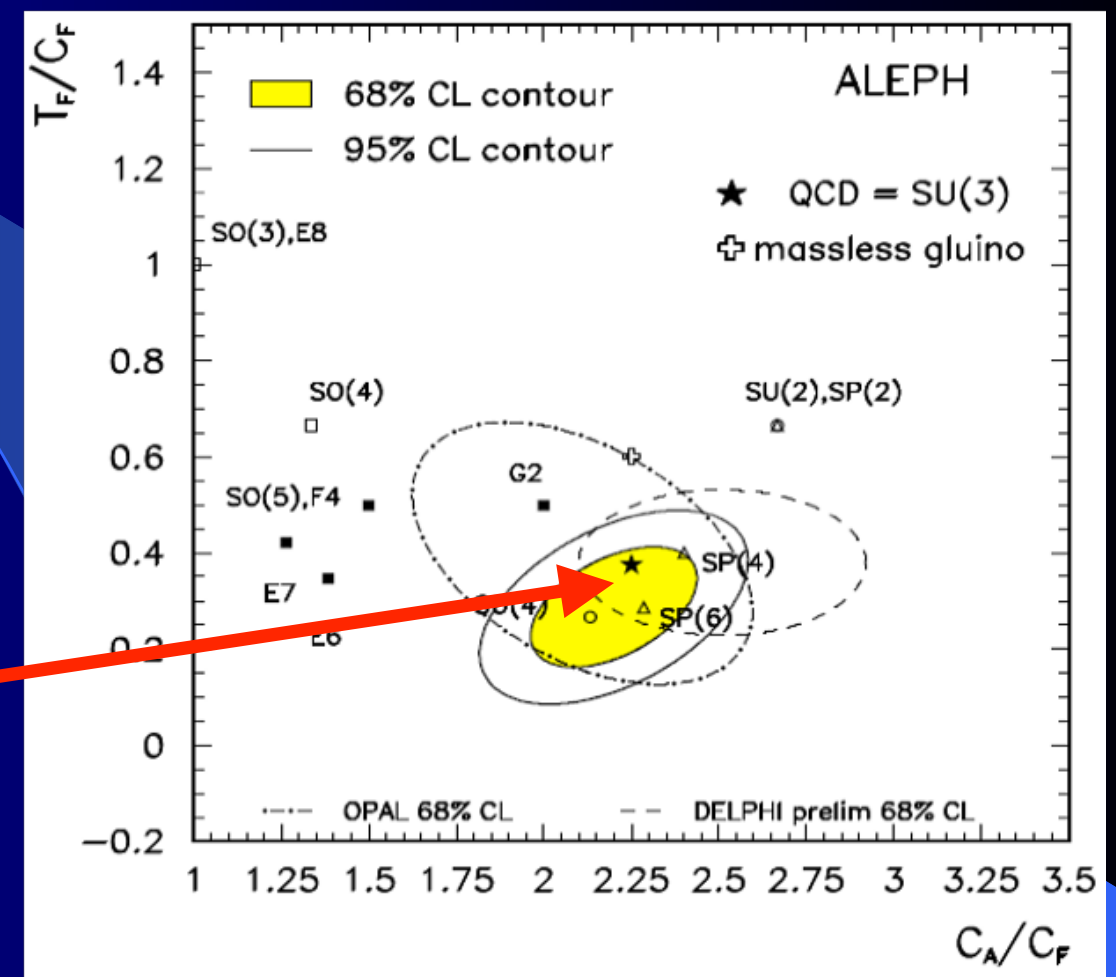


КХД анализ определённо указывает на группу SU(3) как группу симметрии сильных взаимодействий

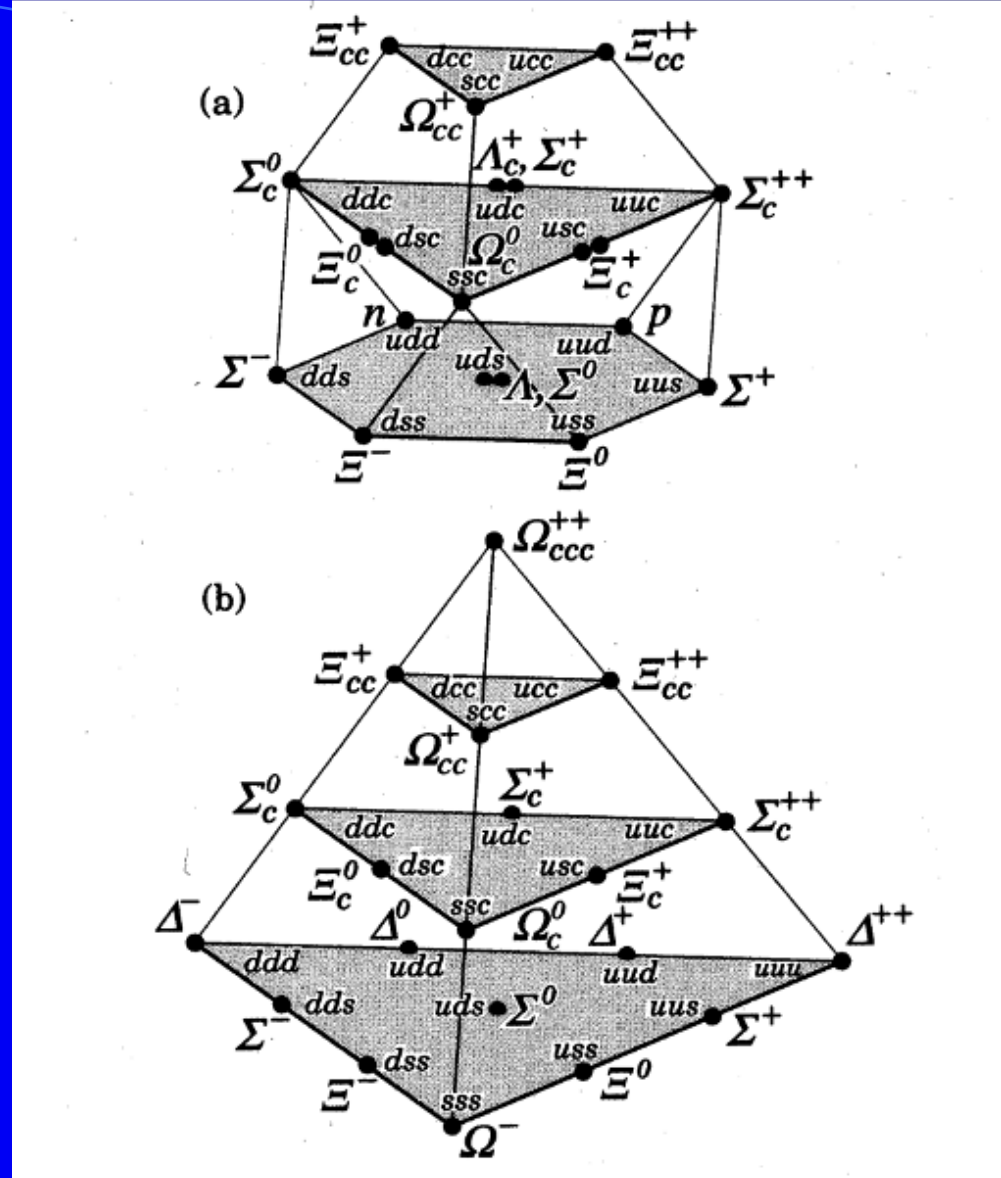
$$\sum_{a=1}^{N_A} (T^a T^{\dagger a})_{ij} = \delta_{ij} C_F \quad , \quad \sum_{i,j=1}^{N_F} T_{ij}^a T_{ji}^{\dagger b} = \delta^{ab} T_F \quad , \quad \sum_{a,b=1}^{N_A} f^{abc} f^{*abd} = \delta^{cd} C_A$$

For SU(N)

$$C_A = N_C \quad , \quad C_F = \frac{N_C^2 - 1}{2N_C} \quad , \quad T_F = 1/2$$

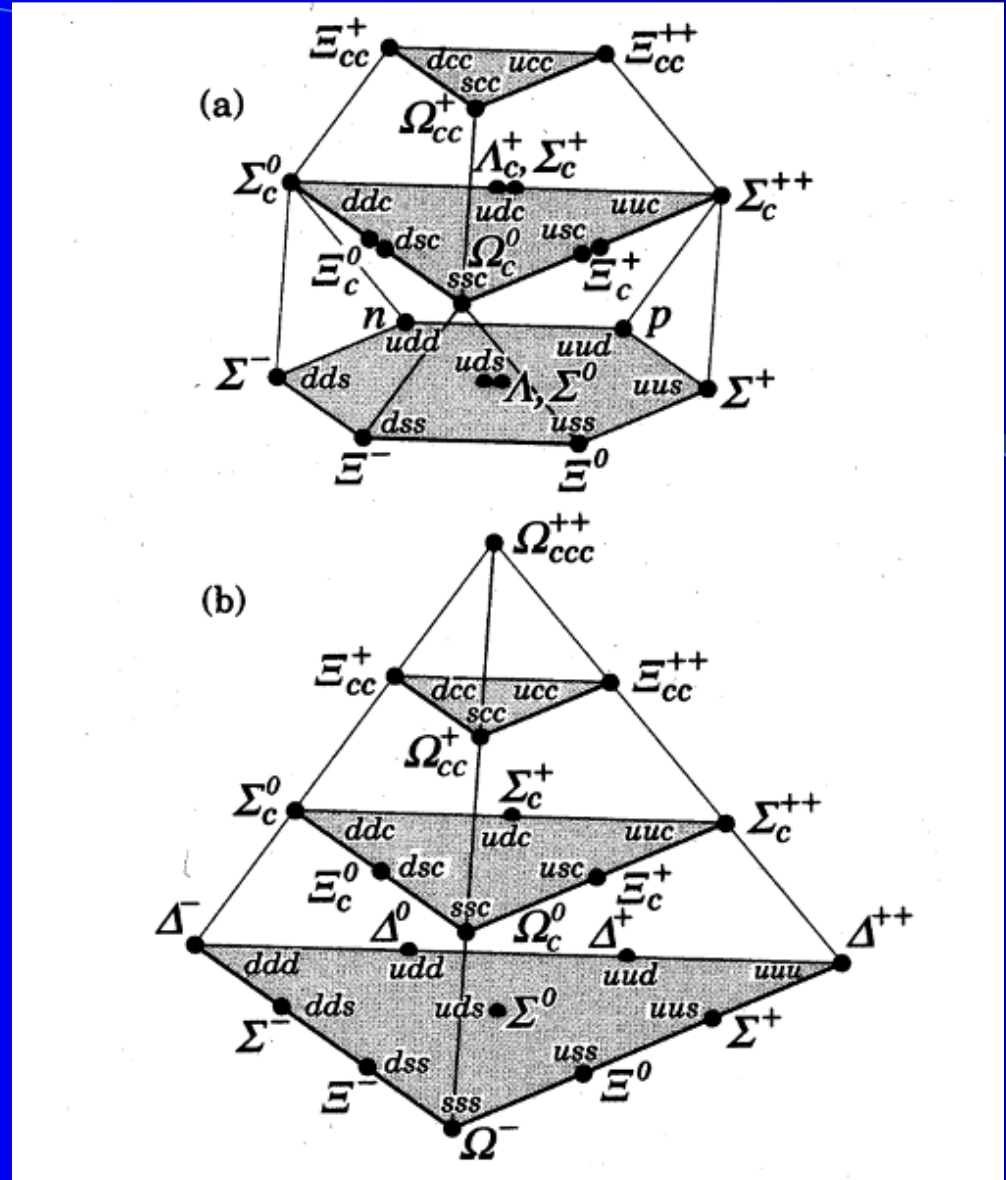


Адроны построенные из кварков



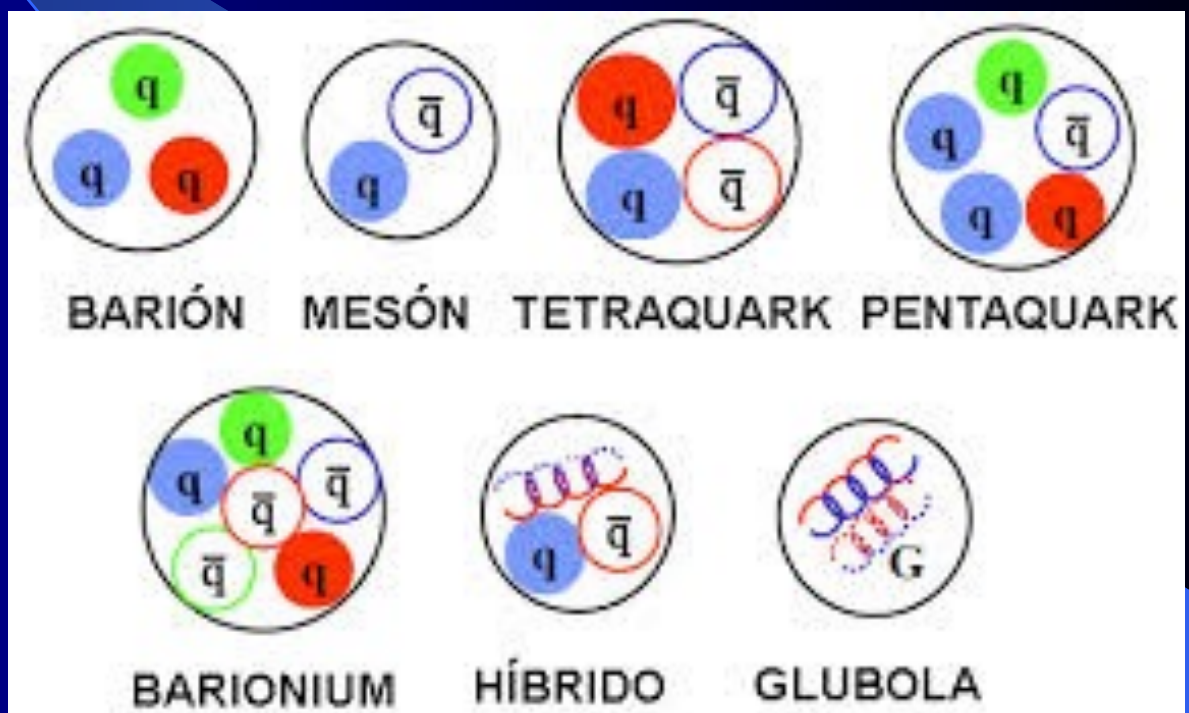
- Постулат конфайнмента: кварки и глюоны не могут наблюдаться в свободном состоянии, наблюдаются только «бесцветные» объекты
 - Бесцветные объекты бывают следующих типов:
мезоны : $M = \bar{q}q$ барионы $B = qqq$

Адроны построенные из кварков



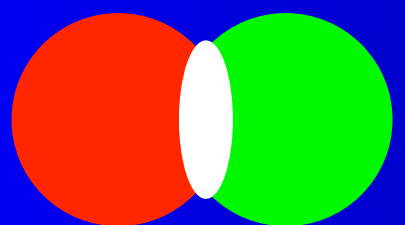
- Постулат конфайнмента: кварки и глюоны не могут наблюдаться в свободном состоянии, наблюдаются только «бесцветные» объекты
- Бесцветные объекты бывают следующих типов:
мезоны : $M = \bar{q}q$ барионы $B = qqq$

экзотические адроны



Гипотеза невылетания кварков

Кварки удерживаются внутри адронов за счёт глюонов, образующих струны натянутые между шкварками



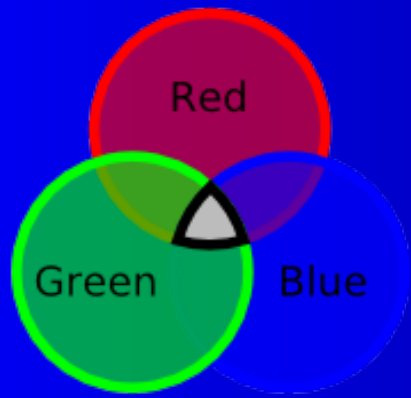
мезон



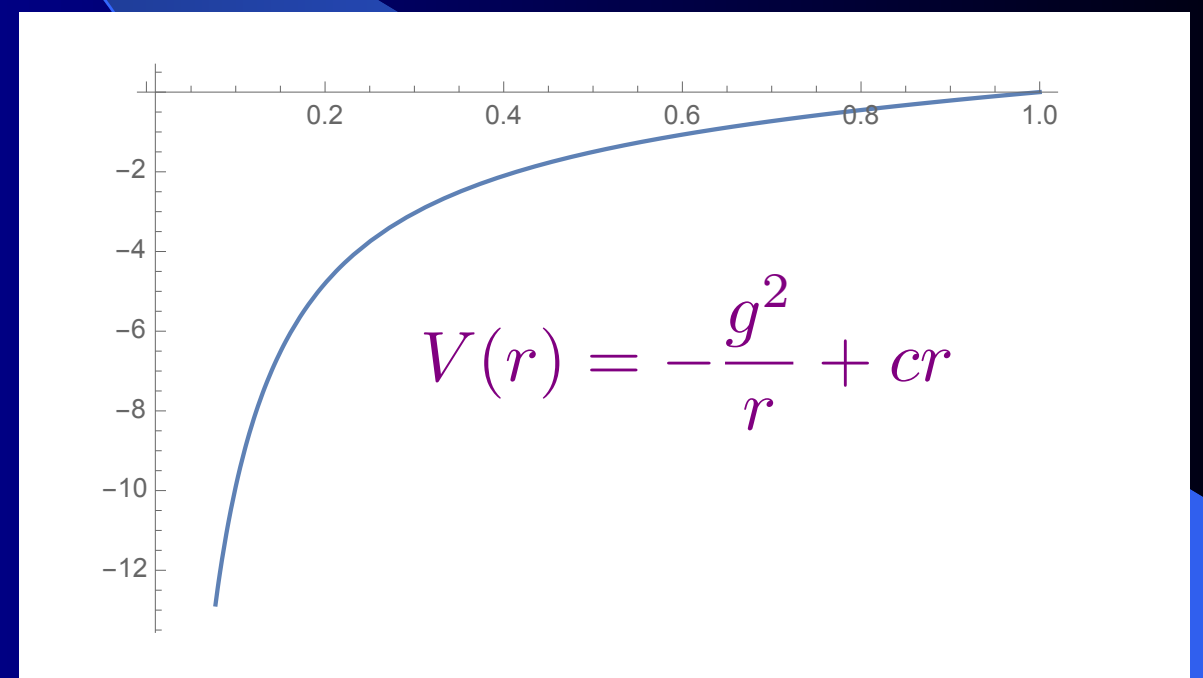
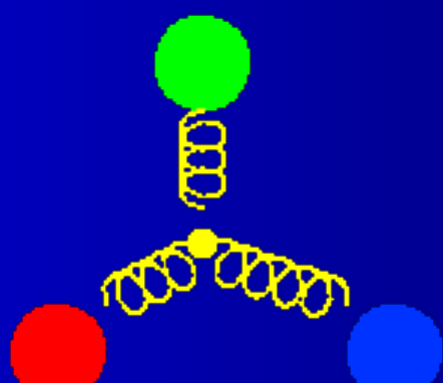
Разрыв струны



Образование новых кварков

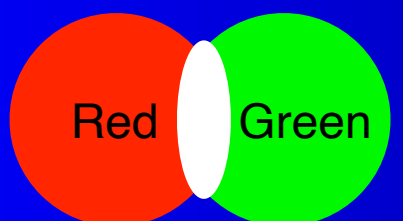


барион



Гипотеза невылетания кварков

Кварки удерживаются внутри адронов за счёт глюонов, образующих струны натянутые между шкварками



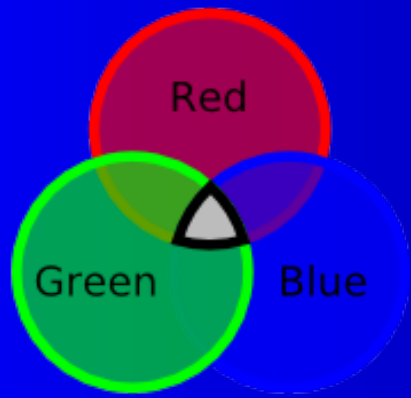
мезон



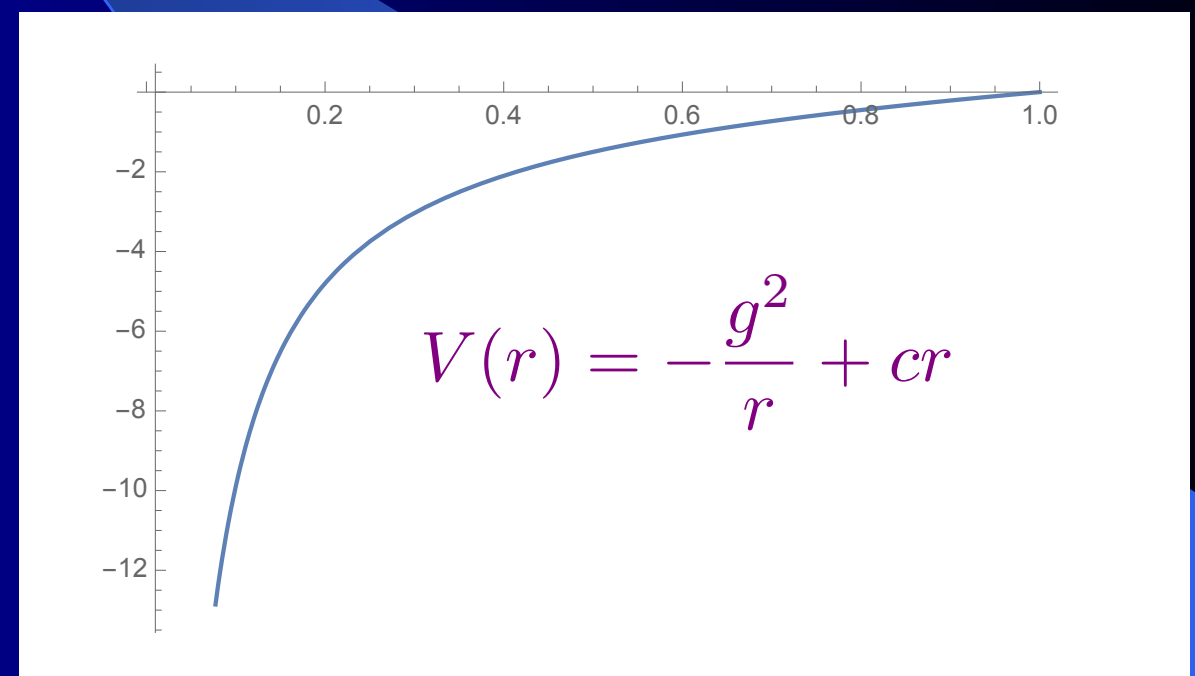
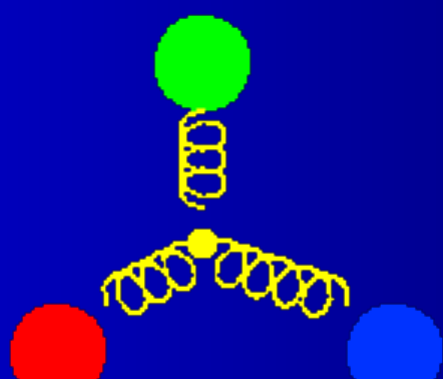
Разрыв струны



Образование новых кварков

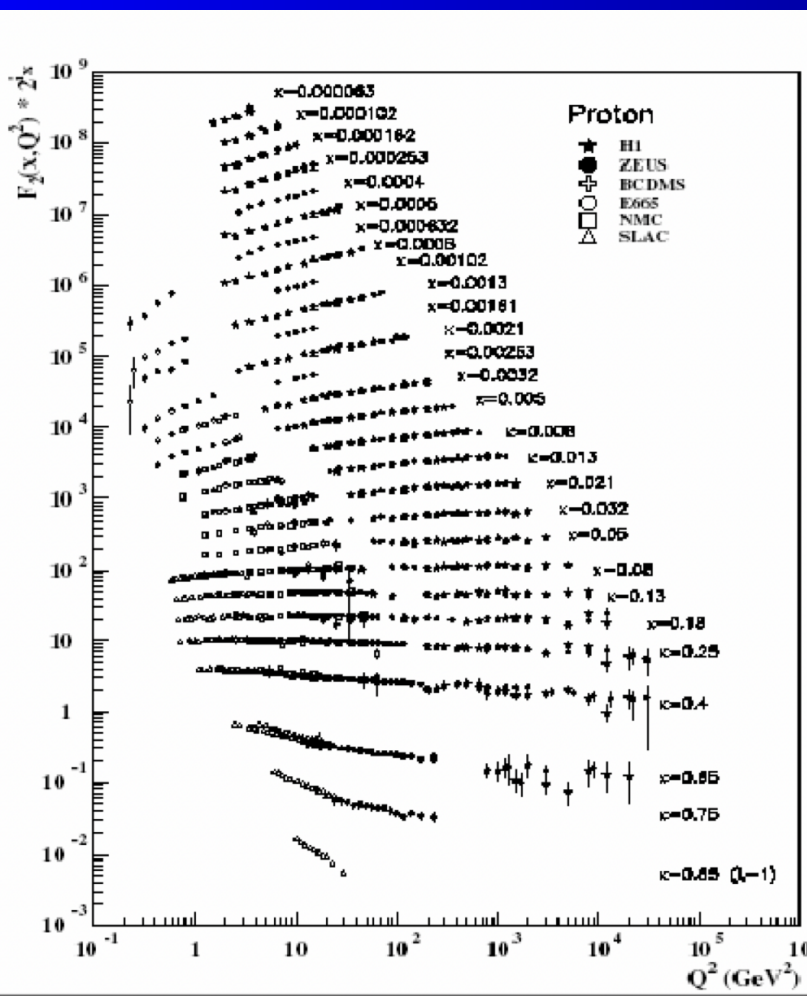
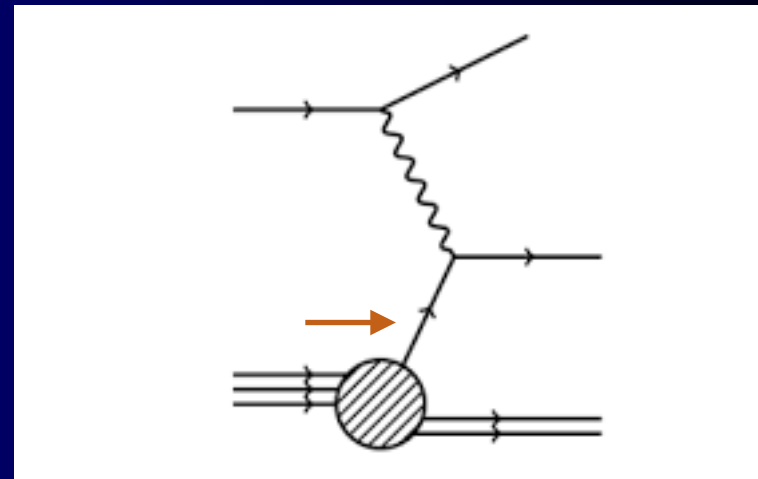
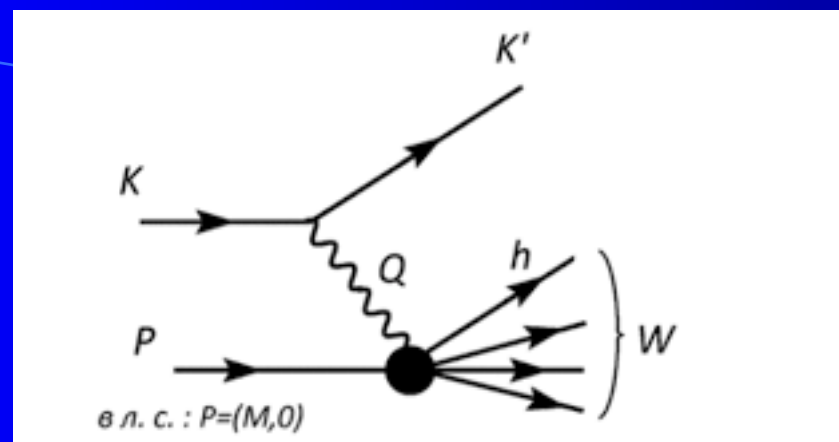


барион

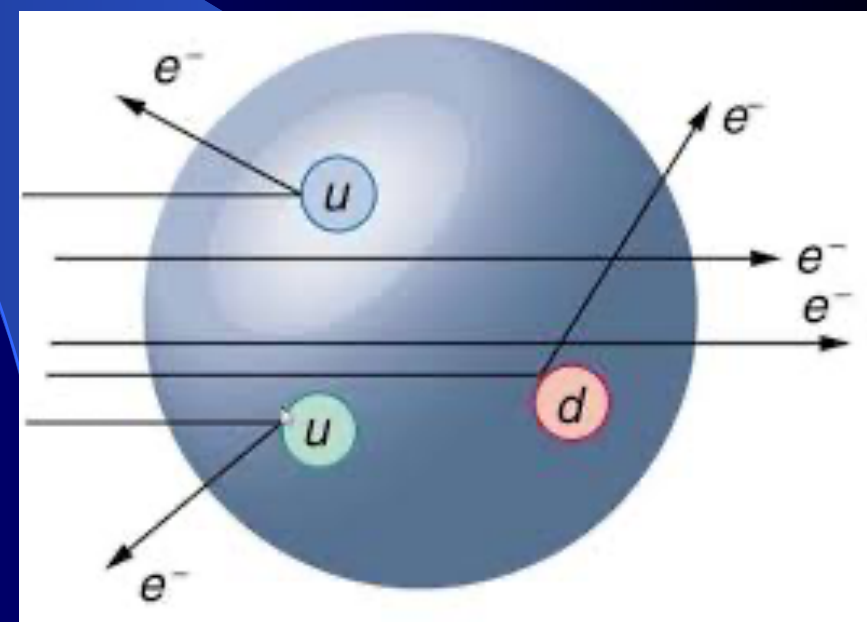


Рассеяние электронов на протонах

Парточная модель

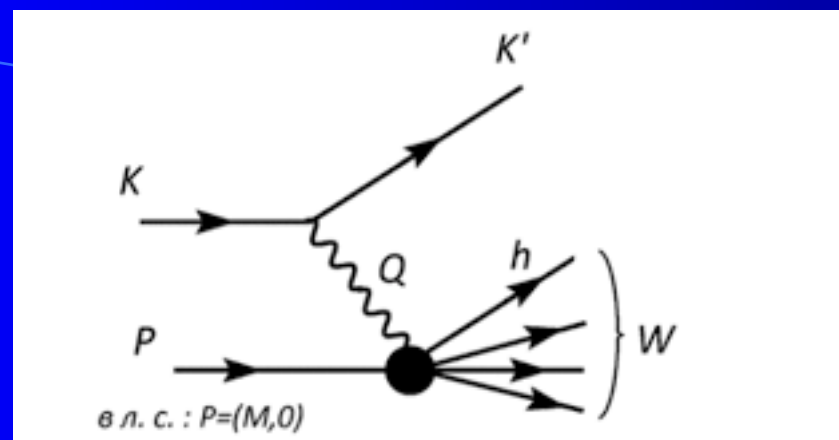


$$x = \frac{Q^2}{W^2}$$

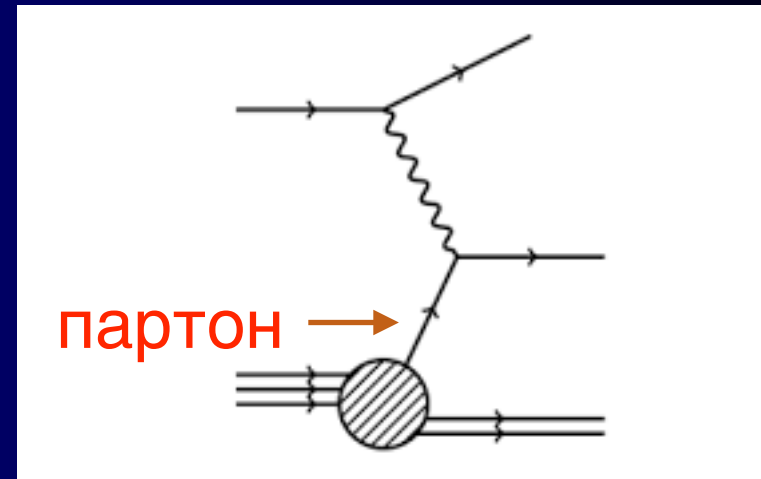


Рассеяние электронов на протонах

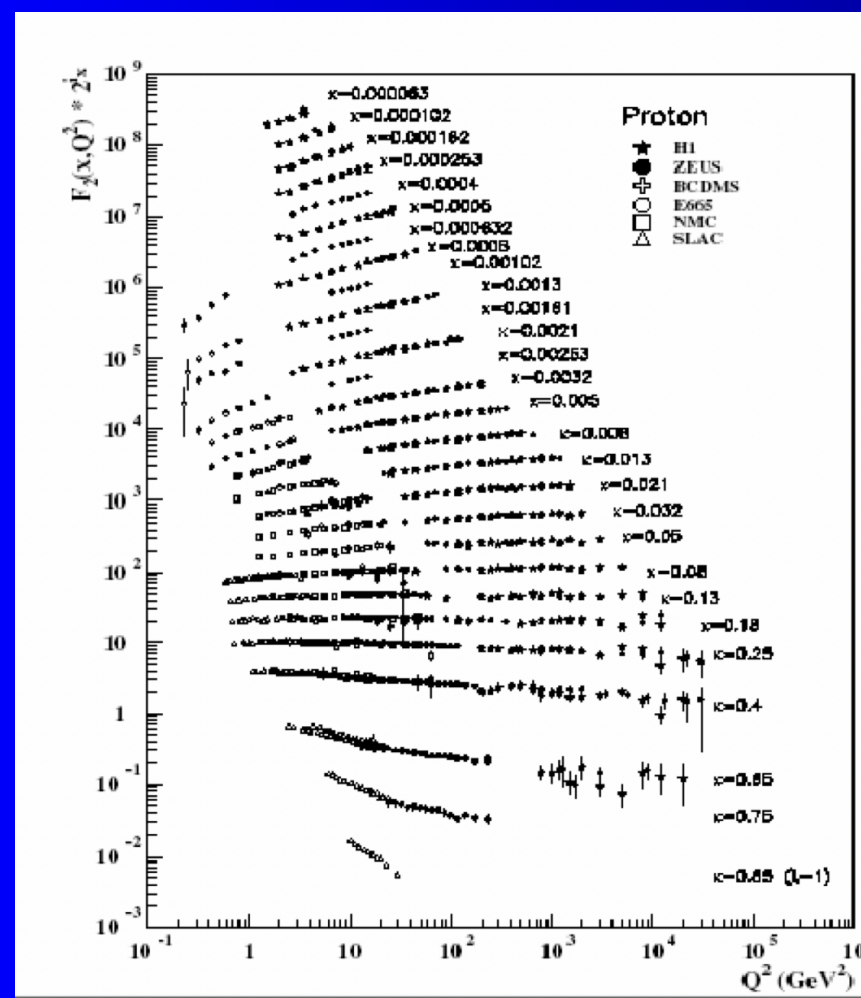
Парточная модель



Q - импульс
переданный
от электрона
протону



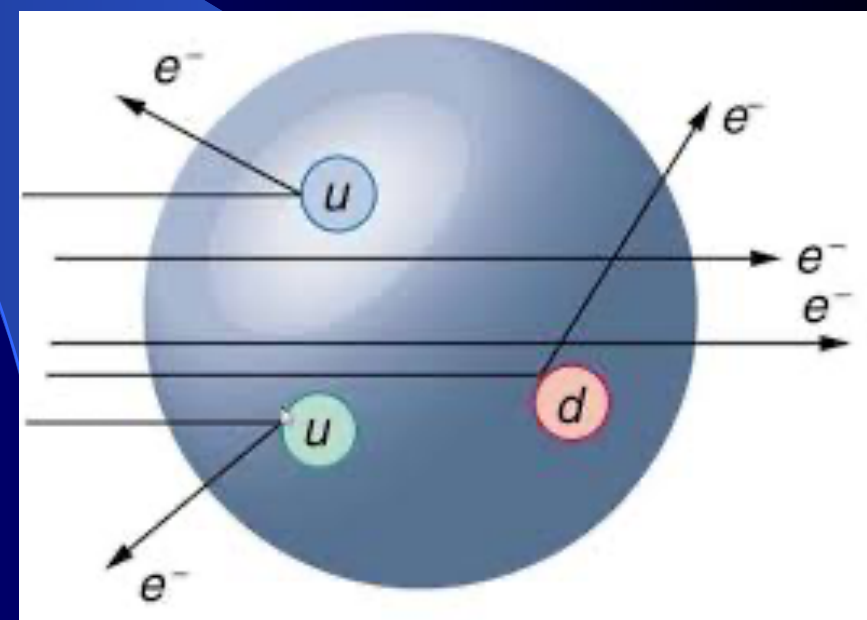
W - полная
энергия
рождённых
адронов



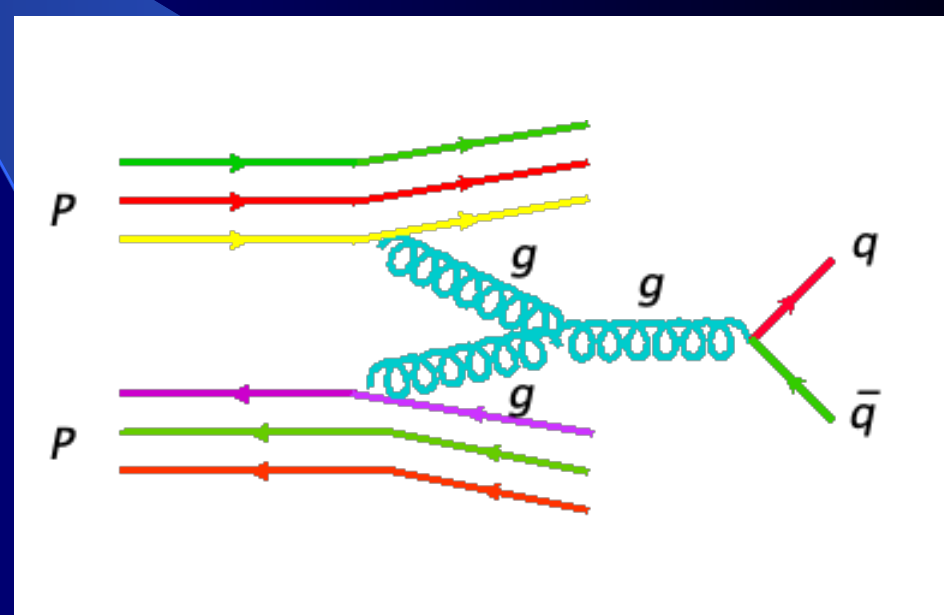
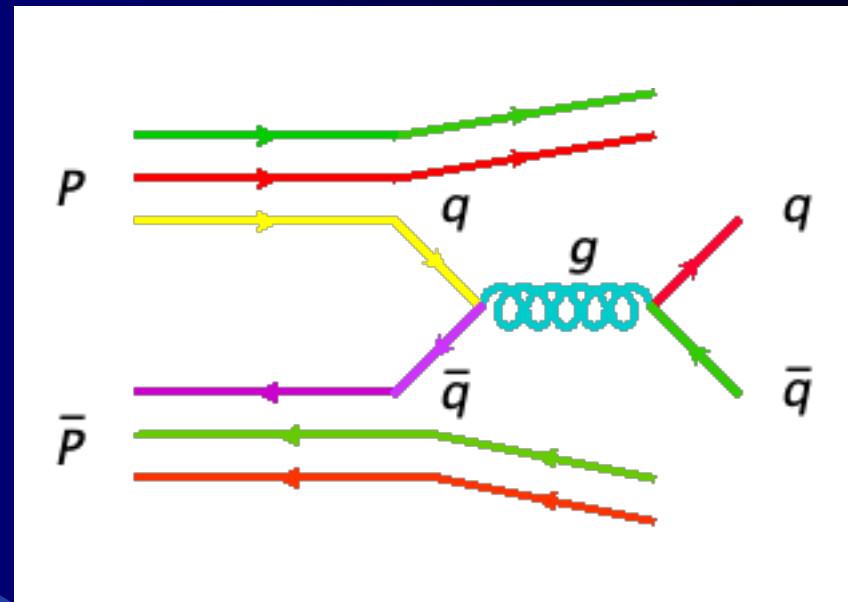
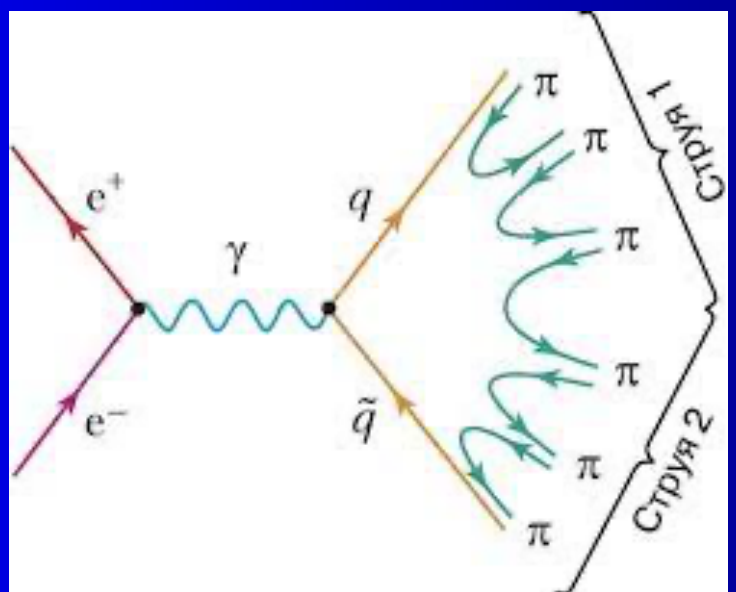
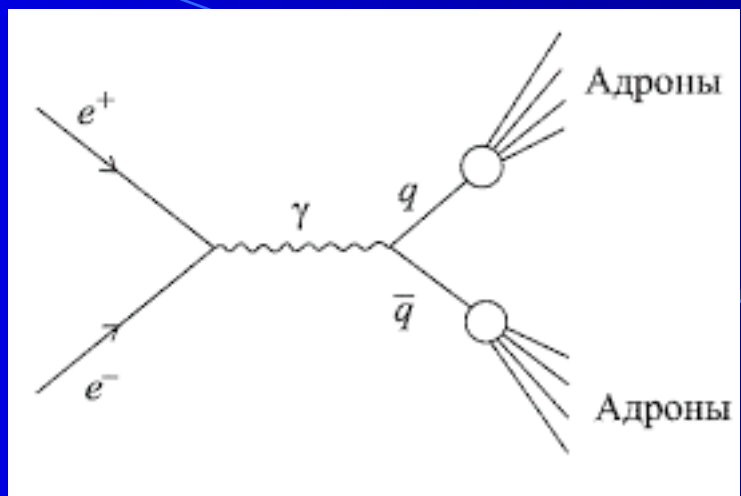
$$x = \frac{Q^2}{W^2}$$

скейлинг

Отождествление партонов
с кварками

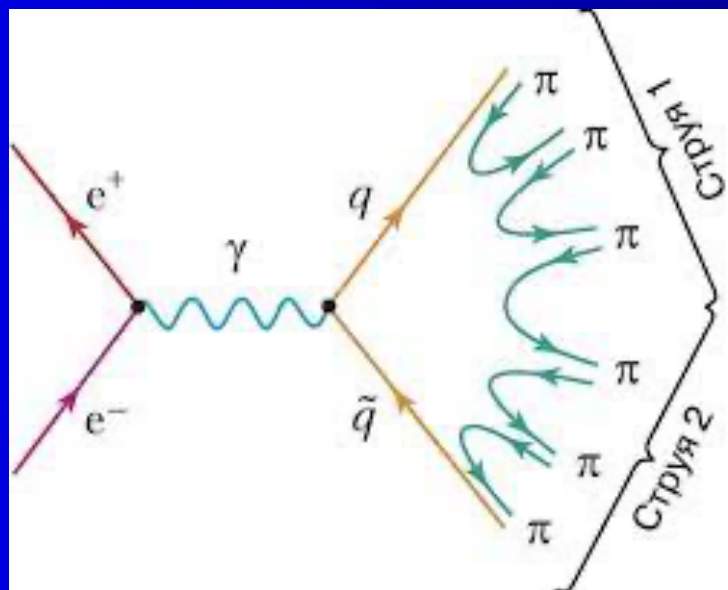
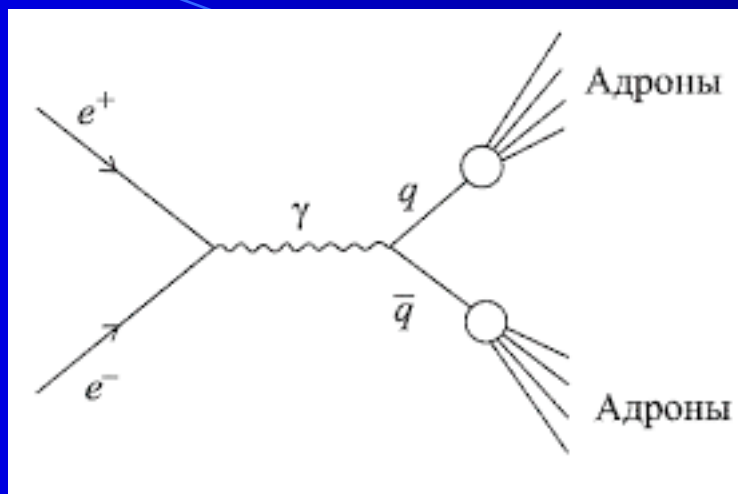


Рождение адронов на колайдерах

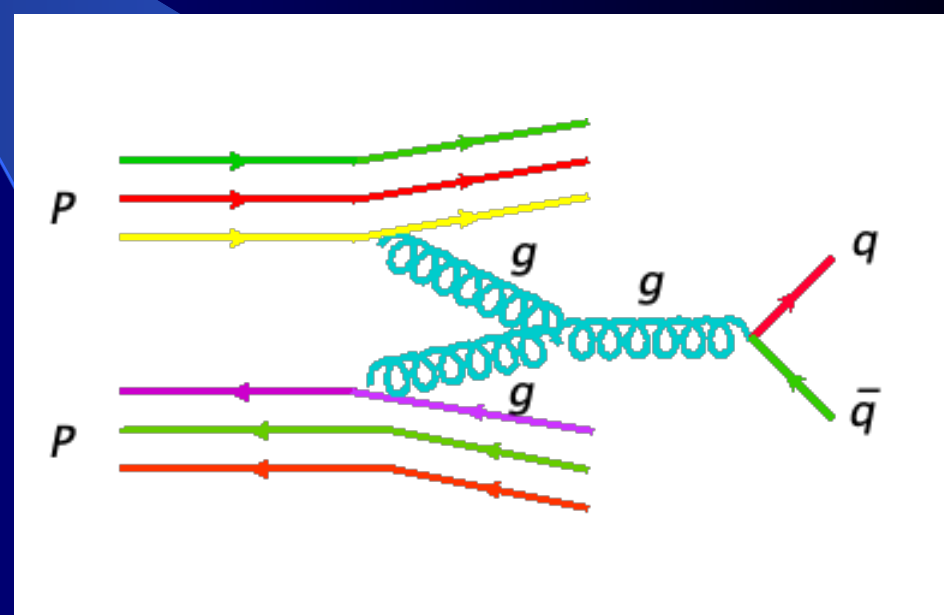
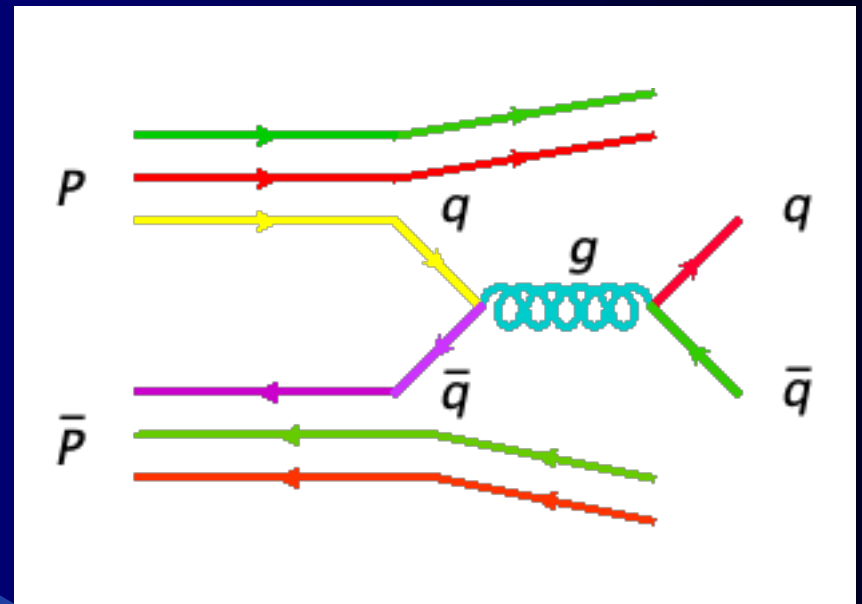


Рождение адронов на колайдерах

Электрон-позитронный колайдер



Протонный колайдер



Адроны образуют струи вдоль направлений рождённых夸克ов

Кварковые подпроцессы

Большой адронный коллайдер

